

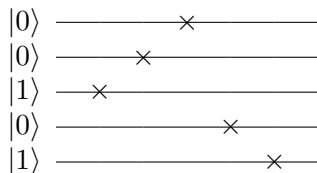
# 量子傅里叶变换与量子相位估计

赵晓菲

2023 年 8 月 6 日

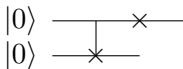
## 5 比特 SWAP 门电路

下图是一个 5 比特 SWAP 门的量子电路：



这个电路可以实现一个 5 比特的 SWAP 门，将量子态  $|00101\rangle$  和  $|10100\rangle$  进行交换，即交换第 1 比特和第 5 比特，第 2 比特和第 4 比特。

该电路可以通过两个 2 比特的 SWAP 门来实现，如下图所示：

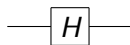


这个 2 比特的 SWAP 门电路是在左边的 5 比特 SWAP 门电路中使用的子电路，它可以将第 1 比特和第 2 比特进行交换。

类似地，我们可以使用另一个 2 比特的 SWAP 门电路来交换第 4 比特和第 5 比特，从而实现 5 比特的 SWAP 门。

# 1-qubit 傅里叶变换电路

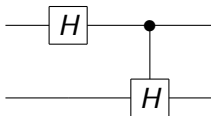
1-qubit 傅里叶变换 (QFT) 电路就是一个 Hadamard 门:



1-qubit 的 QFT 电路就是将一个 1 比特量子态应用 Hadamard 门。它可以将基态  $|0\rangle$  和  $|1\rangle$  转换为均匀分布的叠加态。

## 2-qubit QFT 电路

下图展示了一个 2-qubit 的傅里叶变换 (QFT) 电路：



该电路中的 H 门作用在 LSB 上，QFT 门应用在前两个比特上，而 P 相位门应用在最后一个比特上。

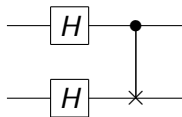
为了实现 P 相位门 (UCPS 门)，相位角需要调整为  $\theta = 2\pi/2^1 = \pi$ 。

因此，UCPS 门的矩阵表示为：

$$\text{UCPS}_{\pi} = \begin{bmatrix} 1 & 0 \\ 0 & e^{-i\pi} \end{bmatrix} = \begin{bmatrix} 1 & 0 \\ 0 & -1 \end{bmatrix}$$

# 2-qubit 傅里叶变换电路

下图是一个 2-qubit 傅里叶变换 (QFT) 电路：



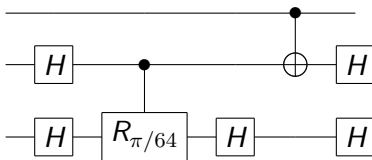
该电路中的 H 门应用在两个比特上，从而实现了 2-qubit 的傅里叶变换。在这个电路中，LSB 表示最低有效位，MSB 表示最高有效位。



UCPS 门是一个单比特相位门，其相位角度为  $\theta = 2\pi/2^7 = \pi/64$ ：

$$\text{UCPS}_{\pi/64} = \begin{bmatrix} 1 & 0 \\ 0 & e^{-i\pi/64} \end{bmatrix}$$

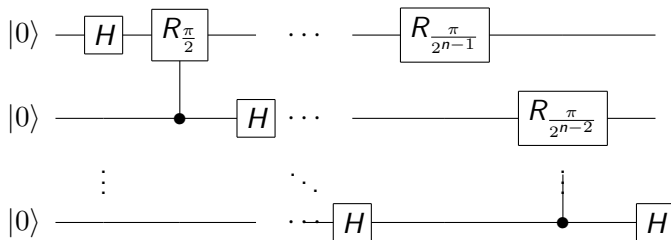
它可以在电路中表示为：





# QFT（傅里叶变换）电路

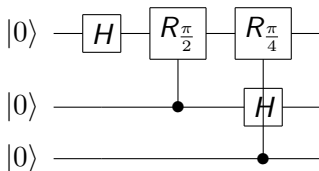
QFT（傅里叶变换）的一般性电路：



该电路实现了一个  $n$  比特的 QFT（傅里叶变换）操作，其中  $Q_i$  表示第  $i$  个比特。

# IBM-Q 3 比特量子电路

下图展示了在 IBM-Q 中实现一个 3 比特的量子电路：



该电路包括以下操作：

- 将所有的 qubit 设置为  $|0\rangle$  状态
- 对 qubit  $q_0$  应用 Hadamard 门 (H)
- 控制门 (cA)：当  $q_0$  处于  $|1\rangle$  状态时，对  $q_1$  应用 Hadamard 门 (H)
- 控制相位门 (P)：当  $q_1$  处于  $|1\rangle$  状态时，对  $q_2$  应用相位门 (P) 并添加相位  $-\frac{\pi}{2}$
- 控制相位门 (P)：当  $q_0$  和  $q_1$  都处于  $|1\rangle$  状态时，对  $q_2$  应用相位门 (P) 并添加相位  $-\frac{\pi}{4}$

该电路将在 IBM-Q 的真实量子计算机上执行。在执行之后，可以观察到量子比特的状态会随着不同的门操作而变化。

# 另一种 QFT 和 IQFT 的定义

根据上述内容，我们了解到有另一种 QFT（傅里叶变换）和 IQFT（逆傅里叶变换）的定义：

- 对于 QFT，有新的定义  $U_{\text{qft}}$  和  $U_{1\text{QFT}}$ ，它使用  $|1\rangle$  来表示。
- 对于 IQFT，有新的定义  $U_{\text{QFT}}$ ，它使用  $|V\rangle$  来表示。

这意味着相同的矩阵可能在不同的文献中有不同的命名。因此，在阅读使用 QFT 和 IQFT 的算法时，我们需要注意确认使用的是哪种定义。除此之外，所有其他内容都与我们之前学习的内容相同。

# 量子相位估计 (QPE) 算法

量子相位估计 (Quantum Phase Estimation, 简称 QPE) 是一种用于估计量子系统相位信息的算法。

- 对于一个  $2 \times 2$  矩阵  $U$ , 假设其特征值为  $e^{i\theta_1}$  和  $e^{i\theta_2}$ 。
- QPE 算法通过将  $U$  的特征向量与一个辅助量子比特进行纠缠, 并在辅助比特上应用一系列 Hadamard 门和控制幺正门来实现相位估计。
- 最终, 通过测量结果, 我们可以得到特征值的相位估计。
- 在我们的例子中,  $U$  的特征值为  $e^{i\theta_1}$  和  $e^{i\theta_2}$ , 我们可以使用 QPE 算法来估计这两个特征值的相位  $\theta_1$  和  $\theta_2$ , 得到它们的值为  $0$  和  $\frac{\pi}{4}$ 。

# 量子相位估计 (QPE) 算法

量子相位估计 (Quantum Phase Estimation, 简称 QPE) 是一种用于估计给定量子门的特定特征值相位的算法。

- 我们有一个  $b$ -寄存器和一个  $c$ -寄存器。我们的目标是估计  $Z$  门的特征值相位。
- QPE 算法通过将  $b$ -寄存器设置为  $|0\rangle$ ,  $c$ -寄存器设置为  $|\psi\rangle$ , 并在  $b$ -寄存器上应用 Hadamard 门来准备初始状态。
- 接着, 在  $b$ -寄存器中应用  $Z$  门的控制版本, 并再次应用 Hadamard 门来进行相位估计。
- 最后, 我们对  $b$ -寄存器应用逆 QFT, 并进行测量, 以得到  $Z$  门的相位估计结果。

在我们的例子中,  $c$ -寄存器的初始状态为  $|\psi\rangle = |10\rangle$ , 我们将使用 QPE 算法来估计  $Z$  门的特征值相位。

# 量子相位估计 (QPE) 算法在 Z 门上的应用

在我们的例子中，我们的 b-寄存器状态为：

$$b_{\text{register}} = |0\rangle|0\rangle|0\rangle$$

我们首先在 b-寄存器上应用 Hadamard 门，得到：

$$b_{\text{register}} = \frac{1}{2}(|0\rangle + |1\rangle)(|0\rangle + |1\rangle)(|0\rangle + |1\rangle)$$

接着，我们在 b-寄存器中应用 Z 门的控制版本，并再次应用 Hadamard 门，得到：

$$b_{\text{register}} = \frac{1}{2}(|0\rangle + |1\rangle) \left( \frac{|0\rangle + |1\rangle}{\sqrt{2}} \right) \left( \frac{|0\rangle + |1\rangle}{\sqrt{2}} \right)$$

最后，我们对 b-寄存器应用逆 QFT，并进行测量，得到 Z 门的相位估计结果。

# 量子傅里叶变换 (QFT) 算法

量子傅里叶变换 (Quantum Fourier Transform, 简称 QFT) 是一种用于对量子比特进行傅里叶变换的算法。

- 我们有一个  $b$ -寄存器和一个  $c$ -寄存器。我们的目标是对  $b$ -寄存器中的量子比特进行傅里叶变换。
  - QFT 算法通过将  $b$ -寄存器设置为  $|0\rangle$ ，并在  $b$ -寄存器上应用 Hadamard 门来准备初始状态。
  - 接着，在  $b$ -寄存器中应用递增控制相位门，通过不同的控制相位来进行傅里叶变换。
  - 最后，我们对  $b$ -寄存器应用逆 QFT，以得到傅里叶变换后的结果。
- 在我们的例子中，我们对  $b$ -寄存器中的三个量子比特进行了 QFT 操作。

# 量子傅里叶变换 (QFT) 算法在 b-寄存器上的应用

在我们的例子中，我们的 b-寄存器状态为：

$$b_{\text{register}} = |1\rangle|0\rangle|0\rangle$$

我们首先在 b-寄存器上应用 Hadamard 门，得到：

$$b_{\text{register}} = \frac{1}{\sqrt{2}}(|0\rangle + |1\rangle)|0\rangle|0\rangle$$

接着，我们在 b-寄存器中应用递增控制相位门，得到：

$$b_{\text{register}} = \frac{1}{\sqrt{2}}(|0\rangle + e^{i\frac{\pi}{2}}|1\rangle)|0\rangle|0\rangle$$

最后，我们对 b-寄存器应用逆 QFT，并进行测量，得到傅里叶变换后的结果。

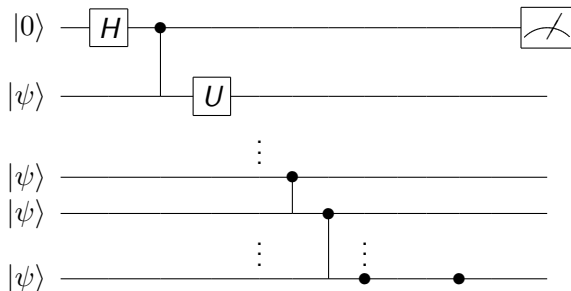


# Qiskit 中的量子傅里叶变换 (QFT) 实现

在 Qiskit 中，我们可以使用以下代码来实现量子傅里叶变换 (QFT)：

# QPE for Z Gate

下图是一个量子相位估计（QPE）电路，用于估计  $Z$  门的本征值：



其中  $U$  是要估计的  $Z$  门， $n$  是比特数， $|\psi\rangle$  是初始量子态。

# N-qubit QPE 电路

下图是一个用于估计  $N$  比特量子门的相位的 QPE 电路：

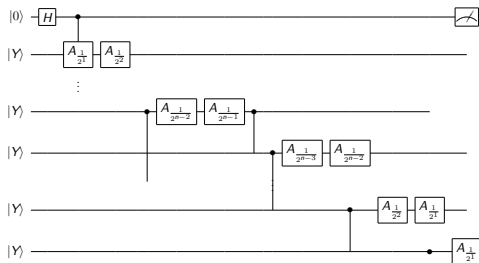


图: Quantum Phase Estimation 电路

该电路用于估计  $N$  比特量子门的相位，其中  $A_{\frac{1}{2^n}}$  是一个角度为  $\frac{1}{2^n}$  的旋转门， $n$  是比特数， $|Y\rangle$  是初始量子态。